# Molecular Mechanisms of Disorders of the Fourth Complement Component (C4) Synthesis

メタデータ	言語: jpn
	出版者:
	公開日: 2017-10-04
	キーワード (Ja):
	キーワード (En):
	作成者:
	メールアドレス:
	所属:
URL	http://hdl.handle.net/2297/8020

## 補体第4成分(C4)産生異常の分子機構

金沢大学がん研究所免疫生物部 (主任:高橋守信教授)

中 山 耕 造

(昭和63年2月4日受付)

ヒトの補体第 4 成分(C4) は,C4A と C4B の 2 つのアイソタイプから成りたち,10~15%の高率で 単独欠損が見られる.これらの欠損は,systemic lupus erythematosus(SLE)や副腎過形成症と強い連 関を示す。C4 欠損の約半数には、遺伝子の欠失が認められず、C4 産生における調節機構の異常が欠損の原 因であると考えられている。マウスには構成的に発現する C4と, テストステロンに誘導される sexlimited protein (Slp) の2つのアイソタイプが存在している。マウス C4 及び Slp には、種々の発現変異 種, すなわち産生異常が知られており, ヒト C4 の産生異常のモデルとして重要である. 本研究では, ヒト C4 産生異常のモデル実験としてマウスの発現変異種の解析を行った。マウス C4 の高発現系 (C4ʰ)と低発 現系 (C4)との間には、血中濃度において 10 倍以上にも達する大きな差が生じている。この発現量の差の 原因を明らかにするため、ノザンブロット及びドットブロットによる C4-mRNA の定量、核内 C4-RNA の 定量, chloramphenicol acetyltransferase (CAT) アッセイによる in vitro での, また nuclear transcription アッセイによる in vivo での転写活性の測定を行い C4<sup>h</sup> と C4<sup>l</sup> 間で比較した. その結果, 転写活性 に C4<sup>h</sup> と C4<sup>l</sup> 間で有意な差は認められないにもかかわらず、C4<sup>h</sup> には C4<sup>l</sup> に比べて明らかに多量のC4mRNA が検出された。この事より、post-transcriptionの段階で C4h と C4h の差が生じていると考えられ た. また Slp は、一般にはテストステロンに誘導されるが、H-2<sup>w7</sup> 等の特定の系統では構成的に発現してい る. H-2<sup>w7</sup> における Slp の構成的発現の原因を明らかにするため、コスミドを用いて C4 に連関した遺伝子 のクローニング及び構造解析を行った。その結果, $H\cdot 2^{wr}$  マウスは C4 遺伝子を1つ,Slp 遺伝子を1つ, そして C4 遺伝子と Slp 遺伝子との recombination の結果生じたと考えられる, 5' 側が C4 由来, 3' 側が Slp 由来の recombinant 遺伝子を 3 つ持つ事が明らかとなった. これらの 3 つの recombinant 遺伝子が C4 由来の 5'-flanking 部位,すなわち遺伝子発現調節部位を持つ事が, $H-2^{wr}$  マウスにおける Slp の構成的 発現の原因であると考えられた。

**Key words** promoter activity, post-transcriptional control, cosmid cloning, recombinant gene

補体系は、20種の血清タンパク質と数種のレセプターから成る生体反応系で、炎症や液性免疫のメディエーターとして生体防御において重要な役割を果たしている。補体系には、古典経路と別経路の2つの活性化反応が存在しており、補体第4成分(C4)は、古典経路におけるC3転化酵素(C3コンベルターゼ)の構成成分として必須な働きを行っている1.

遺伝学上C4で特に重要なのは疾患との関連である。ヒトの補体第4成分は、C4AとC4Bの2つのアイ

ソタイプから成りたっているが、正常人口の約 $10\sim15\%$ という非常な高率でC4A タンパク質もしくはC4B タンパク質の単独欠損が見られる $^{20}$ . C4A 欠損は特に Systemic Lupus Erythematosus (SLE) 様の疾患と強く連関しており $^{30}$ , C4B 欠損では高頻度で $^{21}$ - hydroxylase ( $^{21}$ -OH)欠損を合併し、その結果として先天性副腎過形成症となる $^{40}$ . また I 型の糖尿病とも強い連関を示す $^{50}$ . サザンブロットによって、これらのC4 欠損の遺伝子がすでに解析されている $^{617}$ . その結

Abbreviations: DNA, deoxyribonucleic acid; RNA, ribonucleic acid; cDNA, complementary DNA; mRNA, messenger RNA; kb, kilobase (s); bp, base pair (s); cl, clone; MHC, major histocompatibility complex; Slp, sex-limited protein; SLE, systemic lupus

果, C4 欠損の約半数には遺伝子の大きな欠失は認められず, C4 産生における調節機構に異常をきたしていると考えられている。また C4A, C4B 共に非常に多様性に富み, 35 以上のアロタイプが同定されており<sup>8)</sup>, この多様性の生理的な意味も興味深い。

マウスの補体第4成分は構成的に発現するC4(溶 血活性を持つ)と一般にテストステロンに誘導される sex-limited protein (Slp, 溶血活性を持たない) の 2 つのアイソタイプから成り立っている. C4と Slp の血 中濃度を支配する要因は,構造遺伝子と不可分に MHCのS領域に位置しており、マウスの系統間で著 しく異なっている<sup>9)</sup>. たとえば C4 の場合, 高発現系 (C4h) と低発現系 (C4l) が知られており、血中濃度に おいて 10 倍以上にも達する大きな差が生じている。ノ ザンブロットによる解析の結果, 血中濃度の差を反映 し, C4<sup>h</sup> マウスの肝臓中には C4<sup>l</sup> マウスに比べて 10 倍 以上の多量な C4-mRNA が存在している事が示さ れ10)~12), 翻訳以前の段階で C4h と C4l の差が生じてい ると考えられる。一方 Slp の場合,一般的なテストス テロンで誘導される系統の他に,全く発現しない系統, また構成的に発現する系統の3種の発現様式が知られ ている. Tosi ら13), Levi-Strauss ら14), Rosa ら15)はサ ザンブロットによる解析をおこない, ほとんどのマウ スの系統では C4 遺伝子と Slp 遺伝子が 1 個ずつ存在 しているのに対し、構成的に Slp を発現している H- $2^{wr}$  マウスでは、4 個もしくは 5 個の C4 に連関した遺 伝子が存在している事を示しており、遺伝子重複と発 現様式の変化という観点で興味深い。

このような遺伝子発現調節に関する多数の変異種 (expression variant) の存在, すなわち種々の産生異常のパターンが見られる事より,マウス C4 はヒト C4 の産生異常の機構を解明するうえで極めて魅力的なモデルである. 本研究はヒト C4 産生異常,さらにはそれに伴う SLE 様疾患等の発症の機構を追究する第一歩として,遺伝子発現のどのような機構の差によって C4 の高発現系と低発現系が生じているのかを明らかにする目的で,また一般にテストステロンで誘導される Slp が,なぜ特定のマウスでは構成的に発現しているのかを明らかにする目的で行われた.

#### 材料および方法

## I. 材 料

C3H.W7 (H-2<sup>w7</sup>)マウスは Klein 博士, ヒト肝癌由

来 HepG2 細胞及びマウス Bf-cDNA は Colten 博士, ヒサジマアームは本庶博士, ウシ 21-ヒドロキシラーゼ (21-OH)-cDNA は藤井博士より分与された. C4 特 異的及び Slp 特異的合成 DNA プローブは, 既に報告 した FM 系マウスの C4-cDNA 及び Slp-cDNA の配 列をもとに「6」で), 日科器 (東京)に作製を依頼した. プローブとして使用した FM 系マウスの C4 及び Slp のcDNA 及び遺伝子は既に報告している「ワーロ」。制限酵素類は宝酒造 (京都), 東洋紡 (大阪)より, ラジオアイソトープ標識化合物はアマシャム・ジャパン (東京)より購入した.

### II. ノザンブロット

Slp を発現していない B10(H-2<sup>b</sup>, C4<sup>h</sup>) の雌と B10. BR(H-2k, C4l)の雌の肝臓から、Chirgwin らの方法20) に従い全RNAを抽出した。抽出した全RNAを Lehrach らのフォルマリン法211で電気泳動し、ニトロ セルロース膜にブロットした. プローブとして FM 系 マウスの C4-cDNA の 5' 端から得た EcoRI-Ava I 1.5 kb の断片をニックトランスレーション法22)で標 識して用いた。このプローブとニトロセルロース膜を 1M塩化ナトリウム, 0.2% ウシ血清アルブミン, 0.2% フィコール, 0.2%ポリビニルピロリドン, 50 mM トリ スー塩酸緩衝液 (pH 7.4), 10 mM EDTA, 0.1% SDS, 100 µg 変性サケ精子 DNA/ml 中で 65°C で反応 させた. 反応後, ニトロセルロース膜を 15 mM 塩化ナ トリウム,  $1.5\,\mathrm{mM}$  クエン酸ナトリウム,  $0.01\%\,\mathrm{SDS}$ 溶液中で 65°C, 30 分間ずつ 3 回洗い, -70°C でオート ラジオグラフィーをおこなった.

III.  $C4^k$  遺伝子の 5'-flanking 部位のクローニング B10.BR マウスの肝高分子 DNA は Blin らの方法 $^{23}$ に従い調製した。この高分子 DNA を BamH I で完全に消化し、1%アガロース電気泳動によって、FM 系マウスの C4 遺伝子の 5' 端から得た Pst I-BamH I 1.5 kb の 断片(5' プローブ)と反応する 3 kb と 1.8 kb の 2 つの分画を分取し、 $\lambda$ -ファージ由来のヒサジマアームと結合した。 in vitro パッケージング後、LE 392 に感染させプレートに撒いた。 スクリーニングは Benton-Davis の方法 $^{24}$  に従い、前述の 5' プローブを用いておこなった。

## ${ m IV.}$ chloramphenicol acetyltransferase (CAT) アッセイ

CAT アッセイは Gorman らの方法251に従って行った. FM 系マウスの C4 遺伝子及び前述の B10.BR マ

erythematosus; 21-OH, 21-hydroxylase; SDS, sodium dodecyl sulfate; EDTA, etylenediamine tetraacetic acid; CAT, chloramphenicol acetyltransferase; TLC, thin layer chromatography.

ウスの C4 遺伝子の 5' 非翻訳領域から上流 1.8 kb の 配列を含む DNA 断片を、Hind IIIリンカーを用いて、 pSVOCAT ベクターの Hind III サイトにクローニン グした。この DNA 20 μg をリン酸カルシウム法で 5×106個のヒト肝癌由来 HepG2細胞に導入した. 導 入の効率を上げるため、25%グリセロールで1分間処 理し、48時間後に細胞を集め超音波処理によってライ セートとした。このライセートのタンパク質濃度をバ イオラボ社の定量キットで定量した。 タンパク量に換 算して 100 μg のライセートを含む 120 μl の反応液 (0.25 M トリスー塩酸緩衝液, pH 7.0, 1 μCi<sup>14</sup>C-クロ ラムフェニコール, 4 mM アセチル CoA) 中で 37°C, 30 分間反応を行い、酢酸エチルで抽出した。アセチル 化されたクロラムフェニコールの検出は、抽出液を TLC プレートで展開(展開液はエタノール:クロロ ホルム=5:95) し、オートラジオグラフィーで行っ た.

## V. Nuclear transcription (run-on) アッセイ

Slp を発現していない B10 マウスの雌及び B10.BR マウスの雌の肝臓から、Marzluff らの方法26)に従って 核を単離した。 反応は 70 mM 塩化カリウム, 6 mM マ グネシウム, 0.5 mM ATP, 0.5 mM GTP, 0.5 mM CTP, 0.01 mM 32P-UTP 中で 25°C 30 分間おこなっ た。その後半量のフェノール及び CIAA (クロロホル ム:イソアミルアルコール=20:1)を加え,65℃で 5 分間放置し, さらに氷中で 5 分間放置後 10,000×g, 20 分間遠心して RNA を抽出した。抽出した RNA を 1 ml の Sephadex G-50 カラムでゲルろ過し、遊離の ヌクレオチドを除いた。10 μgの C4-cDNA、C3cDNA, pBR322 の DNA を 0.4 N 水酸化ナトリウム 溶液中で変性させ、ニトロセルロース膜にドットブ ロットを行い, ラベルした RNAと, 50%ホルムアミ ド,0.75 M 塩化ナトリウム,75 mM クエン酸ナトリウ ム, 0.1% SDS, 1 mM EDTA, 10 mM トリスー塩酸 緩衝液 (pH 7.4), 2 μg 熱変性サケ精子 DNA/ml 中 で, 52°C, 12 時間反応させた. 反応後, ニトロセルロー ス膜を 0.15 M 塩化ナトリウム, 15 mM クエン酸ナト リウム, 0.1% SDS 溶液中で52°C, 30 分間 3 回洗 い, -70°C でオートラジオグラフィーを行った.

## VI. ドットプロットによる RNA の定量

肝臓からの核の単離は、前述の nuclear transcription アッセイと同様に行った。全 RNA の抽出は ノザンブロットの項で既に述べた。抽出した RNA を 10 倍量の 3 M 塩化ナトリウム, 0.3 M クエン酸ナトリウム溶液で希釈しニトロセルロース膜上にスポットした。使用したプローブ及び反応の条件はノザンブロットと同様である。

## VII. コスミドライブラリーの作製及びスクリーニン グ

高分子 DNA は Blin らの方法23)に従い, C3H.W7  $(H-2^{wr})$  マウスの肝臓より調製した。この肝高分子 DNA を Taq I で部分的に消化し、0.3%アガロース 電気泳動で35~50kbの断片を分取して2.5 μgをイ ンサートとして使用した. selfligation を防ぐため、 pJB8 コスミドベクターを Ava I, もしくは Pvu IIで 消化し、アルカリホスファターゼ処理で脱リン後、Cla Iでさらに消化し、3kbと5kbの2種類のアームを 調製しインサートと結合した.その後 in vitro パッ ケージングを行い, 490A に感染させ 30 μg/ml のアン ピシリンを含む LB プレート上のニトロセルロース膜 に撒いた。その結果、25万の独立したコロニーが得ら れた、スクリーニングは Hanahan-Meselson の方法27) に従って行った。プローブとして FM 系マウスの C4 遺伝子の5'端から得たPst I-BamH I 1.5kbの断 片(5'プローブ)と、FM系マウスのSlp-cDNAの3' 端から得た Pst I-Hind III 1.0 kb 断片 (3' プローブ) をニックトランスレーション法22)で標識して使用し た. ハイブリダイズの条件は、ノザンブロットと同様 である. なおコスミド DNA の単離は, Grosveld らの 方法28)に従った。

## Ⅷ. サザンブロット

Southern の方法 $^{29}$ に従い,DNA を制限酵素で消化後,アガロース電気泳動によって DNA 断片を分離し,ニトロセルロース膜にブロットした.ニックトランスレーション法 $^{22}$ によって標識したプローブによるハイブリダイズは,ノザンブロットと同様な条件でおこなった.合成ポリヌクレオチドプローブは,ポリヌクレオチドキナーゼを用いて $^{5}$ 端を $^{32}$ Pで標識し使用した.ハイブリダイズはノザンブロットの項で述べた反応液中で, $^{40}$ C、 $^{15}$ 時間おこない,その後 $^{0.9}$  M塩化ナトリウム, $^{1}$  SDS溶液中で $^{50}$ C、 $^{30}$  分間 $^{3}$  回洗い, $^{-70}$ C でオートラジオグラフィーを行った.

## IX. DNA 塩基配列の決定

Sanger らが開発し<sup>30)</sup>, Messing によって改良された M13 ファージを用いたジデオキシ法<sup>31)</sup>で行った。すべての配列に関して両鎖とも塩基配列を決定した。

#### 成 維

- I. C4h 遺伝子と C4l 遺伝子の発現における, posttranscriptional control
- 1. C4<sup>h</sup>マウスと C4<sup>l</sup>マウスの肝臓の全 RNA の / ザンブロットによる解析

B10 マウス (H-2b, C4h) と B10.BR マウス (H-2k,

C4') の肝臓から全 RNA を抽出し、ノザンブロットを 行った. その結果, C4<sup>n</sup> マウス, C4<sup>l</sup> マウス共に 5.4 kb の C4-mRNA を認めた (図1). その他の, たとえばス プライシングの途中の高分子 C4-RNA 等は検出され なかった. しかしながら、C4-mRNA の量は明らかに C4<sup>h</sup>の方がC4<sup>l</sup>に比較して多かった。図1において  $C4^h$ ,  $C4^l$  共にレーン 1 には  $22 \mu g$  の, レーン 2 には 8 μgの, レーン 3には 2 μgの全 RNA を泳動している. 図の左側は C4-cDNA をプローブとして使用した結果 を、右側は C4-cDNA プローブでハイブリダイズした 後, 100°Cの10 mMトリスー塩酸緩衝液 (pH 7.4)で 膜を2回洗うことにより C4-cDNA プローブを除き, さらにインターナルコントロールとして、マウスの系 統間で発現量に差のない血清アルブミンの cDNA を プローブとしてハイブリダイズした結果を示してい る. マウスの系統間で発現量に差の無い血清アルブミ ンの cDNA をプローブとして使用した場合、C4<sup>h</sup> マウ ス, C4<sup>1</sup>マウス共にほぼ同量の血清アルブミン mRNA を検出する事ができ,この実験においてトランス ファー等に技術的な問題は無いと考える事ができる. ところが、C4-cDNA をプローブとした場合には、明ら かに、C4hの方に多量のC4-mRNAを検出する事がで きた、 $C4^h$  のレーン 3 には 2  $\mu$ g の全 RNA を、 $C4^l$  の レーン 1 には 22 μg の全 RNA を泳動しているのでそ の差は10倍以上あると考えられた。

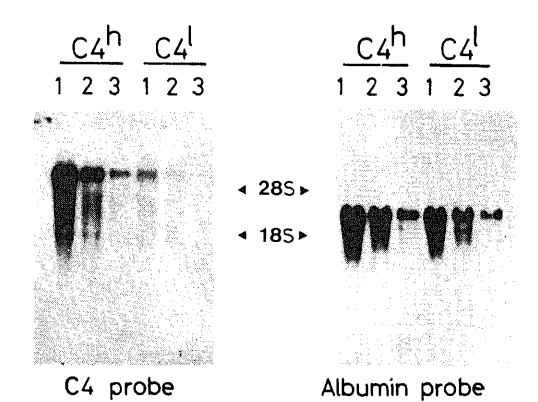


Fig. 1. Northern blot analysis of total RNAs isolated from C4<sup>h</sup> mouse liver and C4<sup>l</sup> mouse liver. Different amounts of total RNAs isolated from B10 mouse (C4<sup>h</sup>) liver and B10.BR mouse (C4<sup>l</sup>) liver  $-22~\mu g$  (lane 1),  $8~\mu g$  (lane 2),  $2~\mu g$  (lane 3) -were processed for Northern blotting. The same filter was screened subsequently with a C4-cDNA probe (left) and a Serum Albumin-cDNA probe (right). Migration distances of 28S (4.2 kb) and 18S (2.0 kb) ribosomal RNAs were indicated.

2. CAT アッセイによる C4<sup>h</sup> 遺伝子と C4<sup>l</sup> 遺伝子 のプロモーター活性の比較

著者らは既に FM 系マウスを用いて、C4 遺伝子の主な転写調節部位はその 5'-flanking 部位に存在している事を示している $^{32}$ . よって、C4 $^{\rm h}$ 遺伝子と C4 $^{\rm h}$ 遺伝子の発現量の差は、5'-flanking 部位のプロモーター活性の差によって生じているのではないかと考え、CATアッセイをおこなった。 FM 系マウス(C4 $^{\rm h}$ )及び B10. BR マウス(C4 $^{\rm h}$ )の C4 遺伝子の 5'-flanking 部位の断片を pSVOCAT ベクターにクローニングし、 HepG2細胞に導入して、一過性の発現量を定量した。 その結果、図 2 に示したように、C4 $^{\rm h}$ の方が C4 $^{\rm h}$  よりもやや強いプロモーター活性を示す傾向が見られたが、インターナルコントロールが無いため、この差が有意であるかどうかは結論できなかった。しかしながら、血中ルどうかは結論できなかった。しかしながら、血中ルだりかは結論できなかった。しかしながら、血中クー活性の差は無いと考えられ、次の実験をおこなった。

3. Nuclear transcription (run-on) アッセイによる in vivo での転写活性の測定

CAT アッセイはインターナルコントロールが取れない事及び 5'-flanking 部位以外にも遺伝子発現調節部位が存在する可能性を否定できない事より,in vivoでの転写活性をどの程度反映しているのか疑問が残る。そこで,より直接的に in vivo での転写活性を測定するため,B10 マウス(C4ʰ)と B10.BR マウス(C4ʰ)の肝臓より核を単離し nuclear transcriptionアッセイを行った。ネガティブコントロールとしてpBR322,インターナルコントロールとしてマウスの系統間で発現量に差の見られない C3 も合わせて測定した。図 3 に示したように,C4ʰ マウス,C4ʰ マウスのC4 遺伝子及び C3 遺伝子の転写量はほぼ同程度であった。すなわち,C4 遺伝子の転写活性において,C4ʰ 遺伝子と C4¹ 遺伝子で大きな差は無い事が明らかとなった。

## 4. 核内 RNA と全 RNA 中の C4-RNA の定量

C4<sup>h</sup> 遺伝子と C4<sup>l</sup> 遺伝子間で転写活性に大きな差が認められないという nuclear transcription アッセイの結果をより明確にするため、C4<sup>h</sup> マウスと C4<sup>l</sup> マウスの肝臓から核を単離し、核内の RNA を抽出、その後ドットプロットを行い C4-RNA を定量した。また、全RNAのドットプロットも合わせて行い、C4-mRNAを定量した。図 4 上部は C4-cDNA をプローブとして使用した結果を、下部には  $100^{\circ}$ Cの 10 mM トリスー塩酸緩衝液(pH7.4)で膜を洗うことにより C4-cDNA プローブを除き、さらにインターナルコントロールとしてマウスの系統間で発現量に差の無い血清

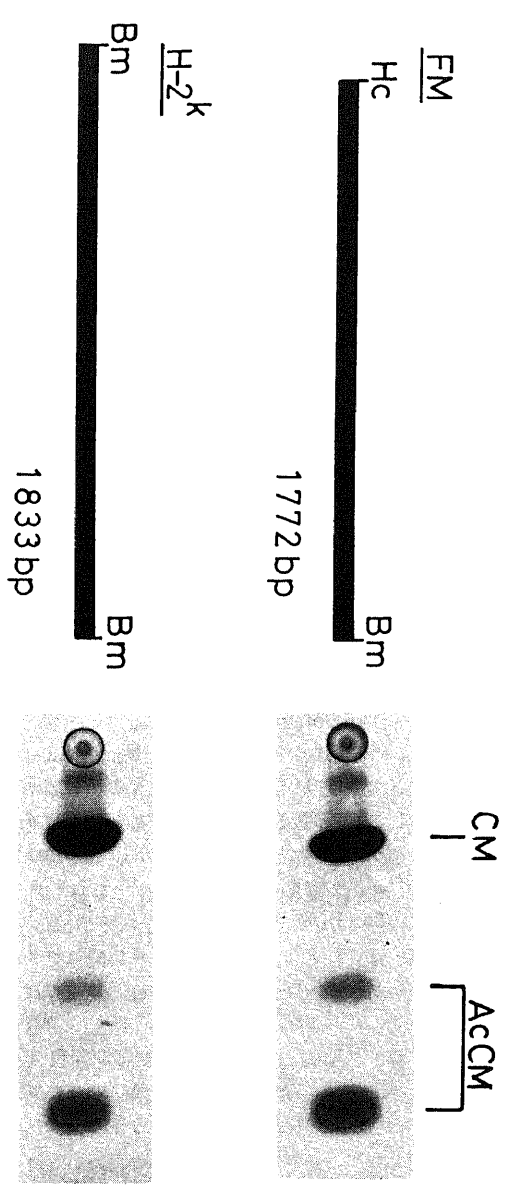


Fig. 2. Expression of CAT activities in HepG2 cells transfected with recombinant plasmids containing 5'-flanking fragments of the C4h and C4h genes. (Left) Schematic representation of C4h (FM mouse) and C4h (B10.BR mouse, H-2h) gene. The 5'-flanking fragments of C4h gene (1772bp) and C4h gene (1833bp) were subcloned into pSVOCAT. HepG2 cells were transfected with these recombinant plasmid and were used to assay for transcriptional activity. Restriction enzyme sites used were as follows: Bm, BamH I; Hc, Hinc II. (Right) Autoradiogram shows the conversion of chloramphenicol (CM) to its acetylated product (AcCM).

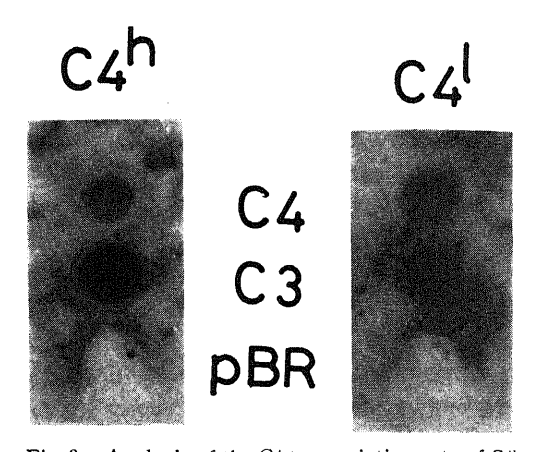


Fig. 3. Analysis of the C4 transcription rate of C4<sup>h</sup> mouse and C4<sup>l</sup> mouse. Nuclear transcription assay with <sup>32</sup>P-labeld RNAs obtained from isolated nuclei prepared from B10 mouse (C4<sup>h</sup>) liver (left) and B10.BR mouse (C4<sup>l</sup>) liver (right) were performed. Equal amounts of labeled RNAs (10<sup>8</sup> dpm) were hybridized to nitrocellulose filters containing 10 µg of C4-cDNA, C3-cDNA (internal control), pBR 322 plasmid DNA (negative control).

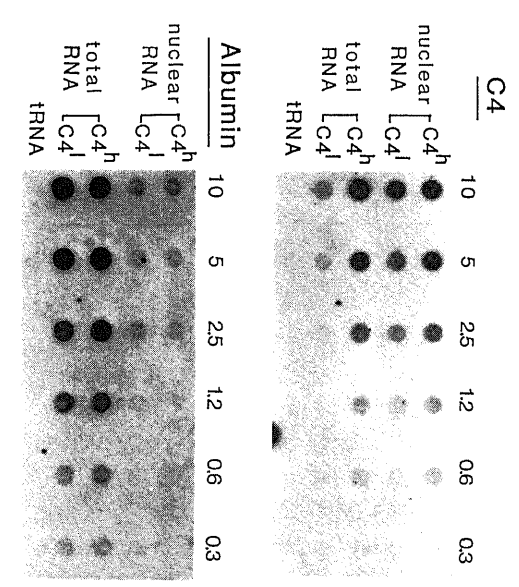


Fig. 4. Dot blot analysis of total RNAs and nuclear RNAs isolated from C4<sup>h</sup> mouse liver and C4<sup>l</sup> mouse liver. Different amounts of total RNAs and nuclear RNAs isolated from B10 mouse (C4<sup>h</sup>) liver and B10.BR mouse (C4<sup>l</sup>) liver. 10 μg, 5 μg, 2.5 μg, 1.2 μg, 0.6 μg, 0.3 μg- were spotted on nitrocellulose filter. The same filter was screened subsequently with a C4-cDNA probe (upper) and a Serum Albumin-cDNA probe (lower).

アルブミン cDNA をプローブとして使用した結果を示している. 血清アルブミン cDNA をプローブとして使用した場合,核内 RNA,全 RNA 共に C4<sup>h</sup> マウスと C4<sup>l</sup> マウス間で差が見られなかった。従ってほぼ同量の核内 RNA 及び全 RNA をドットしていると考える事ができた。C4-cDNA をプローブとした場合,全 RNA において明らかに C4<sup>h</sup> マウスの方に多量の C4-mRNA を検出する量ができた。 $10 \mu g$  の C4<sup>l</sup> の全 RNA 中の C4-mRNA は  $1.2 \mu g$  から  $0.6 \mu g$  の C4<sup>h</sup> の全 RNA 中の C4-mRNA に相当し,その差は 8 倍から 16 倍程度であった。この結果は前述のノザンプロットの結果と一致した。ところが核内の RNA 中の C4-RNA には,このような大きな差は見られず,2 倍程度 C4<sup>h</sup> の方が多いだけであった。

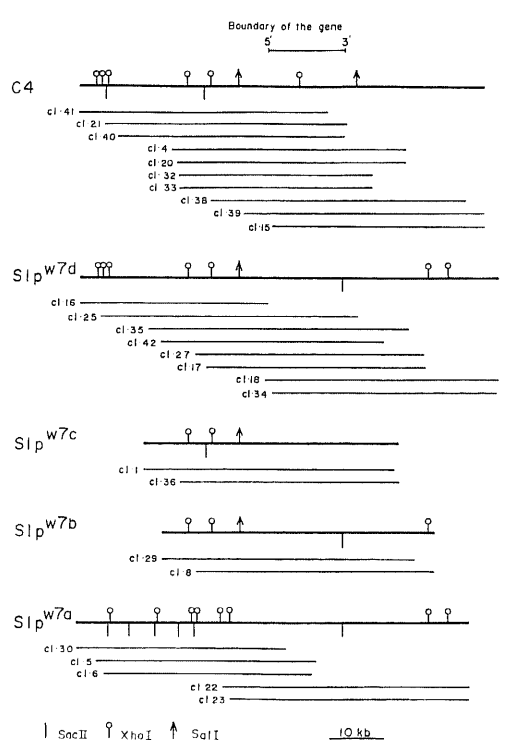


Fig. 5. Molecular maps of 27 overlapping cosmid clones containing five C4-related genes of the H-2<sup>w7</sup> mouse. The 27 cosmid clones were divided into five groups according to the size of hybridizing fragment and the restriction maps were assembled using restriction enzymes, Sal I, Sac II, and Xho I. These five groups of cosmid clones are designated as containing the C4 gene and the Slp genes (Slp<sup>w7a</sup>, Slp<sup>w7b</sup>, Slp<sup>w7c</sup>, Slp<sup>w7d</sup>) on the basis of the results of Southern hybridization using the C4-specific and Slp-specific probes as shown in Figure. 6.

## II. 構成的に Slp を発現している C3H.W7 マウス のコスミドクローニングによる解析

### 1. C4 及び Slp 遺伝子の単離

C3H.W7 マウスのコスミドライブラリーをスクリーニングした結果、41のクローンを得た。このうち5'プローブと反応する27クローンについて制限酵素地図の作成、サザンブロットによる解析を行い、27クローンを5つのグループに分ける事ができた(図5)。

## 2. 単離した遺伝子の同定

C4 と Slp は、全体的に非常に高い相同性があるが、C1S 切断部位では著しく塩基配列が異なっている $^{1617}$ . この著しい塩基配列の相違に従って合成された C4 特異的及び Slp 特異的オリゴヌクレオチドプローブ(図 6 の上部に配列を示す)を用いてサザンブロットを行い、これらの5つの遺伝子が、C4 であるのか Slp であるのかを調べた。前述の5つのグループから1つずつコスミドクローンを選び(cl.1、cl.4、cl.8、

3'-GTTGGTGTTGTACGACGTCC-5'

CGAAACAACAACAACATGCTGCAGGAG

2200

CGAAAGGTCCGGGACATGGTGAATTTG

3'-CCAGGCCCTGTACCACTTAA-5'

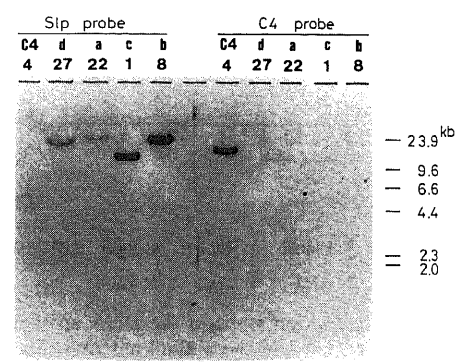


Fig. 6. Southern blot hybridization with the synthetic C4-specific and Slp-specific oligonucleotides. The nucleotide sequences of the C4-specific and Slp-specific probes and their complementary strands are shown at the upper part of the figure. Closed circles indicate nucleotide differences between C4 and Slp sequences. In the lower part of the figure was shown the autoradiogram of the Southern blot analysis using the C4-specific probe (right side) or the Slp-specific probe (left side). The result of experiment using cosmid clone 1 (representing Slp<sup>W7c</sup>), clone 4 (C4<sup>W7</sup>), clone 8 (Slp<sup>W7b</sup>), clone 22 (Slp<sup>W7a</sup>), and clone 27 (Slp<sup>W7d</sup>) were shown in this figure.

Ш

cl.22、cl.27)Hind IIIで消化しサザンブロットを行った。その結果 1 つのクローンのみが C4 プローブと反応し、他の 4 つは Slp プローブとのみ反応した(図 6 )。この結果に従って、C4 プローブと反応した遺伝子を  $C4^{w7}$ 、Slp プローブと反応した遺伝子をそれぞれ  $Slp^{w7a}$ 、 $Slp^{w7b}$ 、 $Slp^{w7c}$ 、 $Slp^{w7d}$  と名付ける事にした。これらのコスミドクローンを BamH I で消化後、5 プローブを使用してサザンブロットを行ったところ、5 つのグループにおいてそれぞれ4.2 kb( $C4^{w7}$ )、4.1 kb( $Slp^{w7d}$ )、2.9 kb( $Slp^{w7a}$ )、2.7 kb( $Slp^{w7c}$ )、1.9 kb( $Slp^{w7b}$ )の 1 本のバンドが検出された(図 7 中に太い矢印で示す)。 肝臓の高分子 DNA を BamH I で

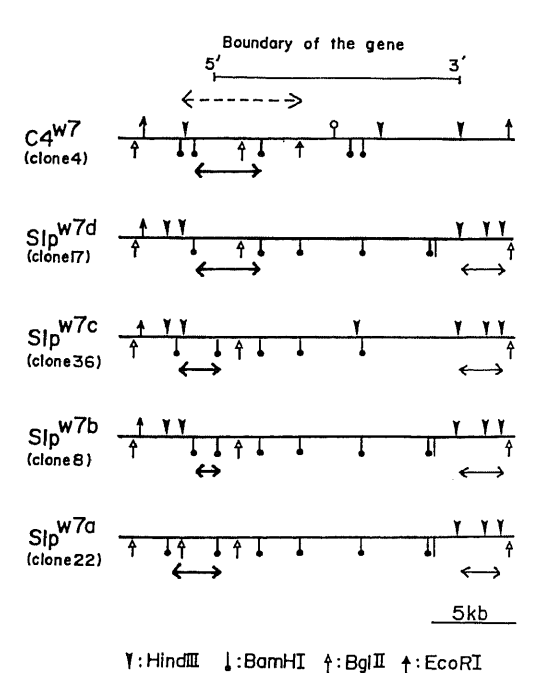


Fig. 7. Restriction maps of the DNA spaning the coding region and the 5'-flanking region of five C4-related genes of the H-2w7 mouse. The subclons containing five C4-related genes were characterized by digestion with the indicated restriction enzymes. The horizontal thick arrows under the genes indicated the polymorphic DNA segments hybridizing with the 5' end probe. The horizontal thin arrows indicated the 3' end segments containing the characteristic Hind III site. Horizontal dotted arrow over the C4w7 gene indicates an approximate location of the recombination site which was inferred from a unique Bgl II site in the 5'-end region of the Slpw7a gene and a unique EcoR I site in the central region of the C4 gene.

?:XhoI

1:SacII

↑: SalI

消化し、サザンブロットを行ったところ、前述と同様な 4.2 kb, 4.1 kb, 2.9 kb, 2.7 kb, 1.9 kb の 5 本のバンドが検出され、C3H.W7 マウスには 5 つの C4 に連関した遺伝子が存在し、それをすべて単離できた事が明らかとなった。

## 3. 詳細な制限酵素地図による解析

遺伝子の全体像を明らかにするため、cl.4(C4 $^{wr}$ )、Cl.22(Slp $^{wra}$ )、Cl.8(Slp $^{wrb}$ )、cl.36(Slp $^{wrc}$ )、cl.17(Slp $^{wrd}$ )から EcoR I で遺伝子部分を切り出し、pUC 19 ベクターにサブクローニング後、詳細な制限酵素地図を作成した(図7)。その結果 3'側は FM 系マウスの Slp 遺伝子にも見られる 3 つの Hind IIIサイト(図7中に細い矢印で示す)が、Slp $^{wra}$ 、Slp $^{wrb}$ 、Slp $^{wrc}$ 、Slp $^{wrd}$  には共通して存在しているが、C4 $^{wr}$  には1つのサイトしか存在しない事、また FM 系マウスの C4 遺

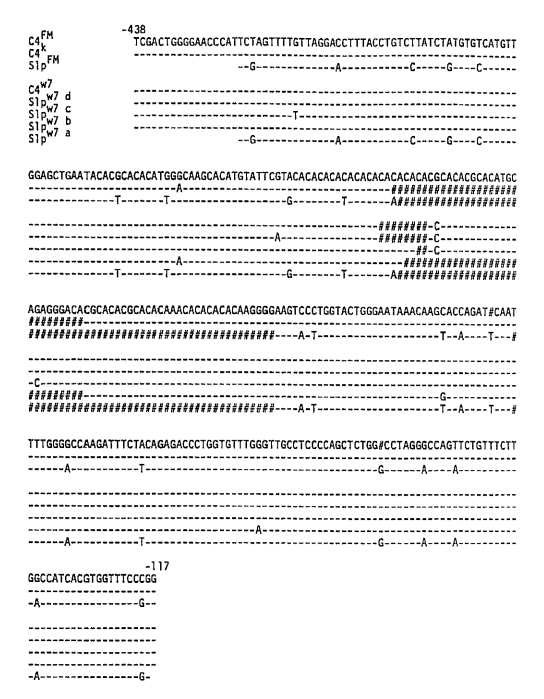


Fig. 8. DNA sequences of the 5'-flanking divergent region of the C4 and Slp genes of FM (H-2<sup>d</sup>), B10. BR (H-2<sup>k</sup>) and C3H.W7 (H-2<sup>w7</sup>) strains. The nucleotide number of the C4<sup>FM</sup> gene is presented at left side and all the other sequences are aligned with the C4<sup>FM</sup> sequence. Nucleotide residues presented in the sequences are those of other gene sequences that are different from the C4<sup>FM</sup> sequence. Dash indicate the positions where the sequence is the same as the C4<sup>FM</sup>. # indicated the deletion introduced into the sequence to maximize the homology with the C4<sup>FM</sup> sequence.

伝子に見られる EcoR I サイト、Xho I サイトが C4<sup>W7</sup> のみに存在し、他の 4 つの遺伝子には見られない 事が明らかとなった。従って 3'側において C4<sup>W7</sup> のみがユニークであり、他の 4 つの遺伝子は類似した構造を持つと考えられた。ところが 5'側においては C4<sup>W7</sup>、 $Slp^{W7b}$ 、 $Slp^{W7c}$ 、 $Slp^{W7d}$  には共通した Hind IIIサイト及び Sal 1 サイトが見られたが、 $Slp^{W7a}$  には見られず、 $Slp^{W7a}$  の み が ユニーク で あった。つ まり  $Slp^{W7b}$ 、 $Slp^{W7a}$  の 3 つの遺伝子は  $C4^{W7}$ に類似した 5'部分及び  $Slp^{W7a}$  に類似した 3'部分を持つ、ハイブリッド様構造をとっている遺伝子である事が明らかとなった。

### 4.5'-flanking 部位の塩基配列の決定

前述のハイブリッド様構造を持つ3つの遺伝子の構造をより詳細に解析するため、5'-flanking 部位の塩基配列を部分的に決定した.既に報告しているように32"、FM 系マウスのC4 遺伝子及びSlp遺伝子間で5′-flanking 部位にも非常に高い相同性(95%)が認められるが、開始コドンから約300 bp 上流に著しい相違が見られる。よって5つの遺伝子についてこの部位の塩基配列を決定した。合わせてB10.BR (H-2)のC4 遺伝子(C4)の塩基配列も決定し、比較した。図8に示したようにFM 系マウスのC4 (C4FM)とSlp (SlpFM)とを比較したところ、322 bp 中22 塩基の置換及びCA

## 考察

 $C4^h$  マウスと  $C4^l$  マウスの肝臓から全 RNA を抽出し C4-mRNA を定量したところ, 既に報告されている 結果 $^{10/-12}$ と一致して,  $C4^h$  に  $C4^l$  に比べ約 10 倍以上の多量な mRNA が検出された。このように mRNA量が C4 の血中濃度の差を反映している事は,  $C4^h$  と  $C4^l$  の差が翻訳以前の段階で生じている事を示している、次に転写活性を比較したところ,  $C4^h$  と  $C4^l$  間で有

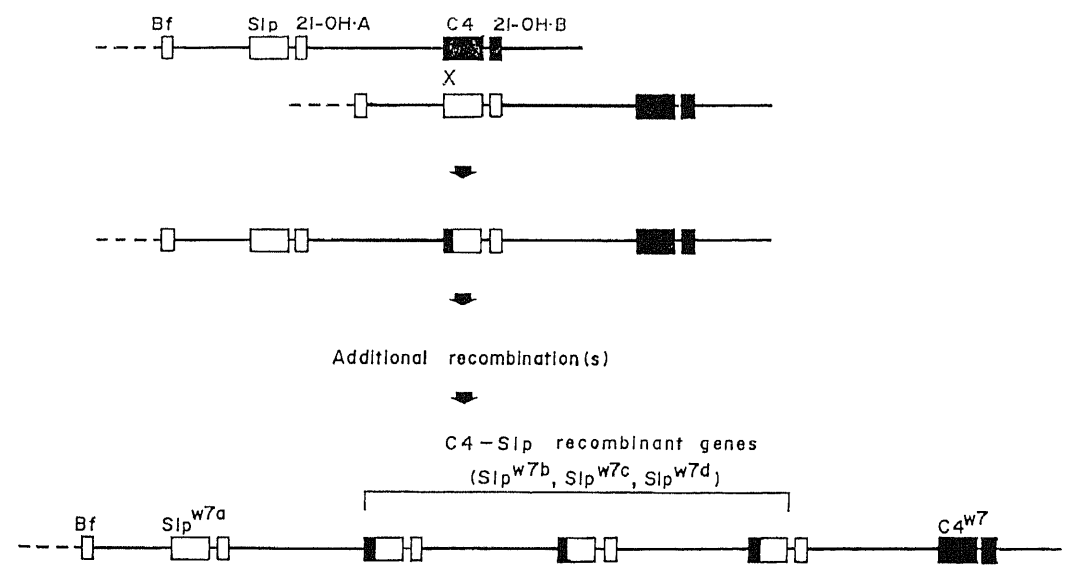


Fig. 9. Model describing unequal cross-over between two homologous chromosomes resulting in the recombination of the C4 and Slp gene in the H·2<sup>w7</sup> mouse. X indicates a proposed region of cross-over probably located in the 5'-end region of the genes, although the precise site of recombination was not determined. Additional unequal cross-overs may have occurred in the limited region resulting in the multiplication of the recombinant C4-Slp genes.

意な差は認められなかった。また肝臓の核内 RNA を 定量し比較したところ、2倍程度の差が認められただ けであった。この2倍程度の量の差が、どの程度転写 活性の差を反映しているのかは現在のところ明確では ない。しかしながら現在まで考えられていたような転 写活性の大きな差11)~13)が無い事は明らかであり、 post-transcriptional コントロールがこの問題で重要 な役割を演じていると結論することができた. Hemenwayらは、Slpを全く発現していない H-2d  $(C4^h)$ マウスの雌、 $H-2^k$   $(C4^l)$ マウスの雌、そして H-2<sup>w7</sup> マウスの雌を使用し、DNase I 感受性部位を検出 している<sup>33)</sup>. その結果, C4 遺伝子の 5'-flanking 部位に 4 ケ所の感受性部位が存在している事を明らかにし た. その部位の感受性は、H-2<sup>d</sup> (C4<sup>h</sup>) マウスと H-2<sup>k</sup> (C41)マウスでは同程度の強さであり、H-2w7マウスで はこれらに比べて数倍程度強かった。この事は、C4hと C4' 間で転写活性に有意な差が無い事を, さらに後述 するように、H-2<sup>w7</sup> マウスには C4 由来の 5'-flanking 部位を持つ recombinant 遺伝子が 3 つ存在し, そのう ちのいくつかが発現している事を支持していると考え られる. では post-transcription のどの段階で C4<sup>h</sup> と C4¹ の差が生じているかという問題であるが、現在の ところ, ヒストン遺伝子34)や c-myc 遺伝子35)の発現及 び成長ホルモンの誘導36)やリンホカインの誘導37)等 が、mRNA の安定性を介して調節されていると考え られている。また、MHCのクラスI遺伝子の発現は、 核内 RNA の分解の程度によって調節されていると考 えられている<sup>38)</sup>。これ以外に RNA のスプライシング の段階での調節も考えられる。もし C4<sup>h</sup> と C4<sup>l</sup> におい てRNA スプライシングの段階で差が生じているなら ば、全RNA のノザンブロットにおいてスプライシン グの途中の高分子 C4-RNA が検出されるはずである が、図1に示したようにそのような高分子 C4-RNA は 検出できない。また、核内 C4-RNA 量の差は 2 倍程度 しか認められない事より、核内での C4-RNA の分解に 大きな差は生じていないと思われる。以上の事より, C4-mRNA の安定性の差が、C4<sup>h</sup> と C4<sup>l</sup> の発現量の差 の原因である可能性が高いと思われるが、この点は今 後の問題である.

コスミドを用いて C3H.W7  $(H-2^{w7})$  マウスの C4 遺伝子及び Slp 遺伝子の構造解析を行った。その結果,C3H.W7 マウスは C4 遺伝子を 1 つ  $(C4^{w7})$  , Slp 遺伝子を 1 つ  $(Slp^{w7a})$  , そして  $C4^{w7}$  に類似した 5' 部分及び  $Slp^{w7a}$  に類似した 3' 部分を持つハイブリッド様構造の遺伝子を 3 つ  $(Slp^{w7b}, Slp^{w7c}, Slp^{w7d})$  持つ事が明らかとなった。このようなハイブリッド様構造は,3 つの遺伝子  $(Slp^{w7b}, Slp^{w7c}, Slp^{w7d})$  が C4 遺伝子と

Slp 遺 伝 子 と の recombination の 結 果 生 じ た recombinant 遺伝子だと考えれば説明する事ができる. recombination は、図7上部に破線の矢印で示した Slp<sup>w7a</sup> に特異的な Bgl II サイトから C4<sup>w7</sup> に特異的な EcoRI サイトの間で起こったと考えられた。実際,図8 に示したようにハイブリッド様構造を持つ3つの遺伝 子はC4由来と考えられる5'-flanking部位を持って いる. また既に発表されている H-2<sup>w7</sup>の C4-cDNA<sup>39)</sup>と Slp-cDNA (Slp<sup>w7.1</sup>)40)の塩基配列を比較すると、翻訳 開始のメチオニンから 163 番目のロイシンまでは完全 に一致している。ところが、それ以降では4%程度の 置換が見られ、Slp<sup>w7.1</sup>が recombinant 遺伝子由来であ る事を示唆している。図9のモデルは recombinant 遺 伝子が生じて来た過程を示している。 まず、不対接合 の結果不等交叉が起こり、5'側が黒で示した C4 由来、 3'側が白で示した Slp 由来の recombinant 遺伝子が 生じた. 同様な不等交叉がさらに起こり、最終的に3 つの recombinant 遺伝子が生じたというモデルであ る. このモデルによると、典型的な Slp である Slp W7a が最も 5' 側に位置し、また 3 つの recombinant 遺伝 子はその 3' 側に 21-OH 遺伝子を伴う事になる. 事実, Bf-cDNA を用いたサザンブロットにより、Slpwra遺 伝子の上流約 40 kb に Bf 遺伝子が存在している事を 確認することができた。また、21-OH-cDNA を用いた サザンブロットにより、5つの遺伝子はすべてその3' 側に 21-OH 遺伝子を伴っている事が確認できた.これ らの結果はこのモデルを支持していると考えられる.

著者らは既に FM 系マウスを用いて, C4 遺伝子と Slp 遺伝子の発現様式の相違は 5'-flanking 部位にあ る事、すなわち C4 遺伝子の 5'-flanking 部位には構成 的な転写活性が見られるが、Slp 遺伝子には活性が認 められない事を示している32). 従って, これら3つの recombinant 遺伝子が機能的な C4 由来の 5'-flanking 部位を持つ事が H-2w7 マウスにおける構成的な Slp 遺伝子の発現の原因、つまり3つの recombinant 遺伝子のうち、少なくとも1つはC4様の発現をして いると結論する事ができる。実際にSlpw7a, Slpw7b, Slp<sup>w7c</sup> の 5'-flanking 部 位 を pSVOCAT ベ ク ターに 組み込み、ヒト肝癌由来 HepG2 細胞に導入して CAT アッセイを行ったところ, 典型的な Slp である Slp<sup>w7a</sup> では全く転写活性が検出されないのに対し, recombinant 遺伝子である Slp<sup>w7b</sup>, Slp<sup>w7c</sup> では構成的 な転写活性が認められた。前述の結論をさらに支持す る結果として Ogata らは cDNA の解析より, H-2w7 マウスでは少なくとも2種類のSlp-mRNAが発現し ている事を示している<sup>40)41)</sup>. 彼らが Slp<sup>W7.1</sup> と呼んでい る cDNA は、CAP サイトのすぐ 3' 側に BamH I サ イトを持つ事及び Hinc II サイトを持たない事より, $Slp^{wrb}$  もしくは  $Slp^{wrc}$  のいずれかの遺伝子に対応すると考えられ,少なくとも  $Slp^{wrb}$ , $Slp^{wrc}$  のうちの一方の mRNA が肝臓で発現していると考えられる.また,Robins らは  $H-2^{wr}$  マウスから C4 遺伝子を 1 つ,Slp 遺伝子を 3 つ単離し,L 細胞に導入している  $^{42}$  . その結果 C4 遺伝子と 2 つの Slp 遺伝子を導入した細胞は,C4 もしくは Slp を分泌するようになった.これらの結果は少なくとも 2 種の Slp 遺伝子が発現している事を示しており,今回の結果を強く支持していると思われた.

#### 結 論

- 1. C4 の高発現系 (C4<sup>h</sup>) と低発現系 (C4<sup>l</sup>) のマウスの肝臓から全RNA を抽出し, C4-mRNA を定量したところ, 血中濃度を反映し C4<sup>h</sup> に C4<sup>l</sup> に比べて 10 倍以上多量の C4-mRNA を検出した.
- 2. CAT アッセイ, nuclear transcription (runon) アッセイを行い, 転写活性を測定して C4<sup>h</sup> と C4<sup>l</sup> で比較したところ, 有意な差は認められなかった.
- 3.  $C4^h$  マウスと  $C4^l$  マウスの肝臓から核内 RNA を抽出し、核内 C4-RNA を定量比較した。その結果  $C4^h$  に  $C4^l$  に比べて約 2 倍量の C4-RNA を検出したが、とても血中濃度や mRNA 量の差を説明できる程の差ではなかった。
- 4. Slp を構成的に発現している発現変異種 C3H. W7  $(H-2^{wr})$  マウスから、5 つの C4 に連関した遺伝子を、コスミドを用いて、クローニングした。
- 5. 得られたコスミドクローンの解析の結果、H-2<sup>W7</sup>マウスは C4 遺伝子を1つ、Slp 遺伝子を1つ、そして C4 遺伝子と Slp 遺伝子の recombination の結果 生じたと考えられる、5'側が C4 由来、3'側が Slp 由来の recombinant 遺伝子を3つ持つ事が明らかとなった。

 $C4^h$ と  $C4^l$ の比較において、転写活性に大きな差が無いにもかかわらず、C4-mRNA量に 10 倍程度の大きな差が生じている事より、 $C4^h$ と  $C4^l$ の C4 発現量の差は post-transcriptional なコントロールの段階で生じていると考えられた。また、 $H\cdot 2^{wr}$ マウスは 3つの  $5^t$ 側が C4 由来、 $3^t$ 側が S1p 由来の recombinant 遺伝子を持っており、これらのうち少なくとも 1 つは、機能的な C4 由来の  $5^t$ -flanking 部位(遺伝子発現調節部位)を持つ事が、 $H\cdot 2^{wr}$ マウスにおける S1p の構成的発現の原因であると考える事ができた。

#### 鸹 鰬

稿を終えるに臨み、御指導、御校閲を賜った高橋守信教授

に深く感謝いたします。また御指導を賜った野中勝博士, 御 教示を頂いた山本健一教授ならびに免疫生物部各位に深く 感謝いたします。

## 文 献

- 1) Reid, K. B. M. & Porter, R. R.: The proteolytic activation systems of complement. Ann. Rev. Biochem., **50**, 433-464 (1981).
- 2) O'Neill, G. J., Yang, S. Y. & Dupont, B.: Two HLA-linked loci controlling the fourth component of human complement. Proc. Natl. Acad. Sci. USA, 75, 5165-5169 (1978).
- 3) Fielder, A. H. L., Walport, M. J., Batchelor, J. R., Rynes, R. I., Black, C. M., Dodi, I. A. & Huges, G. R. V.: A family study of the MHC of patients with SLE. Null alleles of C4A and C4B may determine the disease. Br. Med. J., 186, 425-428 (1983).
- 4) Fleischnick, E., Raum, D., Alsco, S. M., Gerald, P. S., Yunis, E., J., Awdeh, Z. L., Granados, J., Crigler, J. E., Giles, C. M. & Alper, C. A.: Extended MHC haplotypes in 21-hydroxylase-deficiency congenital adrenal hyperplasia: shared haplotypes in unrelated patient. Lancet, i, 152-156 (1983).
- 5) McCluskey, J., McCann, V. J., Kay, P. H., Zilko, P. J., Christiansen, F. T., O'Neill, G. J., & Dawkins, R. L.: HLA and complement allotypes in type I (insulin dependent) diabetes. Diabetologia, 24, 162-165 (1983).
- 6) Carroll, M. C., Palsdottir, A., Belt, K. T. & Poter, R. R.: Deletion of complement C4 and steroid 21-hydroxylase genes in the HLA class III region. EMBO J., 4, 2547-2552 (1985).
- 7) Carroll, M. C., Belt, K. T., Palsdottir, A. & Yu, Y.: Molecular genetics of the fourth component of human complement and steroid 21-Hydroxylase. Immunol. Rev., 87, 39-60 (1985).
- 8) Mauff, G., Alper, C. A., Awdeh, Z., Bachelor, J. R., Bertrams, J., Braun-Petersen, G., Dawkins, R., Démant, P., Edwards, J., Grosse-Wilde, H., Hauptmann, G., Klonda, P., Lamm, L., Mullenhauer, E., Nerl, C., Olaisen, B., O'Neill, G., Rittner, C., Roos, M., Skanes, V., Teisberg, P. & Wells, L.: Statement on the nomenclature of human C4 allotypes. Immunobiol., 164, 184-191 (1983).

- 9) Shreffler, D. C.: MHC-linked complement components. *In Parham P. and Strominger J. (eds.)*, Histocompatibility Antigens: Structure and Function, p189-210, Champman and Hall, London, 1982.
- 10) Chaplin, D. D., Woods, D. E., Whitehead, A. S., Goldberger, G., Colten, H. R. & Seidman, J. G.: Molecular map of the murine S region. Proc. Natl. Acad. Sci. USA, 80, 6947-6951 (1983).
- 11) Ogata, R. T.: Structure and expression of murine fourth complement component (C4) and sex-limited protein (Slp). Immunol. Rev., 87, 101-122 (1985).
- 12) Hemenway, C., Kalff, M., Walthall, D. & Robins, D.: Sequence comparison of alleles of the fourth component of complement (C4) and sex-limited protein (Slp). Nucleic Acids Res., 14, 2539-2554 (1986).
- 13) Tosi, M., Levi-Strauss, M., Georgatsou, E., Amor, A. & Meo, T.: Duplications of complement and non-complement genes of the H-2 S region: Evolutionary aspects of the C4 isotypes and molecular analysis of their expression variants. Immunol. Rev., 87, 151-183 (1985).
- 14) Levi-Strauss, M., Tosi, M., Steinmetz, M., Klein, J. & Meo, T.: Multiple duplications of complement C4 gene correlate with H-2-controlled testosterone-independent expression of its sex-limited isoform, C4-Slp. Proc. Natl. Acad. Sci. USA, 82, 1746-1750 (1985).
- 15) Rosa, P. A., Sepich, D. S., Shreffler, D. C. & Ogata, R. T.: Mice constitutive for sex-limited protein (Slp) expression contain multipte Slp gene sequences. J. Immunol., 135, 627-631 (1985).
- 16) Nonaka, M., Takahashi, M., Natuume-Sakai, S., Nonaka, M., Tanaka, S., Shimizu, A. & Honjo, T.: Isolation of cDNA clones specifying the fourth component of mouse complement and its isotype, sex-limited protein. Proc. Natl. Acad. Sci. USA, 81, 6822-6826 (1984).
- 17) Nonaka, M., Nakayama, K., Yu, D. Y., Shimizu, A. & Takahashi, M.: Molecular cloning and characterization of complementary and genomic DNA clones for mouse C4 and Slp. Immunol. Rev., 87, 81-99 (1985).
- 18) Nonaka, M., Nakayama, K., Yu, D. Y. & Takahashi, M.: Complete nucleotide and derived

- amino acid sequences of the fourth component of mouse complement (C4). J. Biol. Chem., **260**, 10936-10943 (1985).
- 19) Nonaka, M., Nakayama, K., Yu, D. Y. & Takahashi, M.: Complete nucleotide and derived amino acid sequences of sex-limited protein (Slp). J. Immunol., 136, 2989-2993 (1986).
- 20) Chirgwin, J. M., Rrzybyla, A. E., MacDonald, R. J. & Rutter, W. J.: Isolation of biologically active ribonucleic acid from sources enriched in ribonuclease. Biochemistry, 18, 5294-5299 (1979).
- 21) Lehrach, H., Diamond, D., Wozney. J. M. & Boedtker, H.: RNA molecular weight determinations by gel electrophoresis under denaturing conditions, a critical reexamination. Biochemistry, 16, 4743-4751 (1977).
- 22) Rigby, P. W. J., Dieckmann, M., Rhodes, C. & Berg, P.: Labeling deoxyribonucleic acid to high specific activity in vitro by nick translation with DNA polymerase I. J. Mol. Biol., 113, 237-251 (1977).
- 23) Blin, N. & Stafford, D. W.: A general method for isolation of high molecular weight DNA from eukaryotes. Nucleic Acids Res., 3, 2303-2308 (1976).
- 24) Benton, W. D. & Davis, R. W.: Screening  $\lambda$ gt recombinant clones by hybridization to single plaques in situ. Science, 196, 180-182 (1977).
- 25) Gorman, C. M., Moffat, L. F. & Howard, B. H.: Recombinant genomes which express chloramphenical acetyltransferase in mammalian cells. Mol. Cell. Biol., 2, 1044-1051 (1982).
- 26) Marzluff, W. F. & Huang, R. C.: Transcription of RNA in isolated nuclei. *In* Hames, B. D. & Higgins, S. J. (eds.), Transcription and translation, a practical approach. p89-129, IRL press, Washington DC, 1984.
- 27) Hanahan, D. & Meselson, M.: Plasmid screening at high colony density. Gene, 10, 63-67 (1980).
- 28) Grosveld, F. G., Dale, H. H. Boer, E. & Flavel, R.: Isolation of  $\beta$ -globin-related genes from a human cosmid library. Gene, 13, 227-237 (1981).
- **29) Southern, E. M.**: Detection of specific sequences among DNA fragments separated by gel

- electrophoresis. J. Mol Biol., 98, 503-517 (1975).
- 30) Sanger, F., Nicklen, S. & Coulson, A. R.: DNA sequencing with chain-terminating inhibitors. Proc. Natl. Acad. Sci. USA, 74, 5463-5467 (1977).
- **31) Messing**, **J.**: New M13 vectors for cloning. Meth. Enzymol., **101**, 20-78 (1983).
- 32) Nonaka, M., Kimura, H., Yu, D. Y., Yokoyama, S., Nakayama, K. & Takahashi, M.: Identification of the 5'-flanking regulatory region responsible for the difference in transcriptional control between mouse complement C4 and Slp genes. Proc. Natl. Acad. Sci. USA, 83, 7883-7887 (1986).
- 33) Hemenway, C. & Robins, D. M.: DNase I-hypersensitive sites associated with expression and hormonal regulation of mouse C4 and Slp genes. Proc. Natl. Acad. Sci. USA, 84, 4816-4820 (1987).
- 34) Sittman, D. B., Graves, R. A. & Marzluff, W. F.: Histone mRNA concentration are regulated at the level of transcription and mRNA degradation. Proc. Natl. Acad. Sci. USA, 80, 1849-1853 (1983).
- 35) Blanchard, J. M., Piechazyk, M., Dani, C., Chambard, A., Franchi, J., Pouyssegur, J. & Jeanteur, P.: c-myc gene transcribed at high rate in Go-arrested fibroblasts in post-transcriptionally regulated in response to growth factors. Nature, 317, 443-445 (1985).

- 36) Paek, I. & Axel, R.: Glucocorticoids enhance stability of human growth hormone mRNA. Mol. Cell. Biol., 7, 1496-1507 (1987).
- 37) Shaw, G. & Kamen, R.: A conserved AU sequence from 3' untranslated region of GM-CSF mRNA mediates selective mRNA degradation. Cell, 46, 659-667 (1987).
- 38) Vaessen, R. T. M., Houweling, A. & VanDerEb, A. J.: Post-transcriptional control of class I MHC mRNA expression in Adenovirus 12-transformed cells. Science, 235, 1486-1488 (1987).
- 39) Sepich, D. S., Noonan, D. J. & Ogata, R. T.: Complete cDNA sequence of the fourth component of murine complement. Proc. Natl. Acad. Sci. USA, 82, 5895-5899 (1985).
- **40) Ogata, R. T. & Sepich, D. S.**: Murine sexlimided protein: Complete cDNA sequence and comparison with murine fourth complement component. J. Immunol., **135**, 4239-4244 (1985).
- 41) Sepich, D. S., Rosa, P. A. & Ogata, R. T.: cDNA sequence of a novel sex-limited protein (Slp) from mice constitutive for Slp expression. J. Biol. Chem., 262, 4935-4938 (1987).
- 42) Robins, D. M., Malissen, M., Hood. L., Ferreira, A., Walthall, D. & Mitchell, M.: Multiple C4/Slp genes distinguished by expression after transfection. Mol. Cell. Biol., 6, 134-141 (1986).

272 中 山

Molecular Mechanisms of Disorders of the Fourth Complement Component (C4) Synthesis Kohzo Nakayama, Department of Immunobiology, Cancer Research Institute, School of Medicine, Kanazawa University, Kanazawa 920-J. Juzen Med. Soc., 97, 260-272 (1988)

**Key words:** promoter activity, post-transcriptional control, cosmid cloning, recombinant gene

### Abstract

The fourth component of complement (C4) in humans is composed of two isotypes (C4A and C4B) encoded by two closely linked loci. Deficiency of C4A and C4B occur at very high frequency (10~15%), and have been closely associated with particular diseases such as Systemic Lupus Erythematosus (SLE) and Congenital Adrenal Hyperplasia (CAH). The deletion of the gene cannot be detected in one-half of C4 deficiency, which is probably the result of various defects at the level of gene expression. In the mouse, there are two isotypes, C4 and sex-limited protein (Slp). C4 is constitutively expressed, while Slp is testosterone-regulated in common inbred strains. In addition to this standard pattern, many expression variants exist for both C4 and Slp, thus providing an attractive model system for the study of molecular mechanisms of human C4 deficiencies. The present research was performed as a model experiment of disorder of human C4 synthesis. Low C4-producing strains (C41) have 10~20 fold less C4 protein in plasma than high C4-producing strains (C4h). To understand the mechanism of this difference, RNA blotting, chloramphenicol acetyltransferase (CAT) assay, and nuclear transcription assay were performed. The results of comparative studies revealed that steady-state C4-mRNA levels are several-fold higher in C4<sup>h</sup> strains than in C4<sup>l</sup> strains. However, there is no significant difference between the relative rates of transcription of C4h and C41. These results suggest that the major part of the regulation of plasma C4 levels in these strains occur at the level of posttranscription. In most mouse strains, expression of a gene encoding Slp is induced by testosterone, however, in the H-2w7 mouse, Slp is expressed constitutively in the same way as C4. To examine the structural basis for the testosterone-independent expression of Slp, all of the five C4-related genes were isolated from the cosmid library of the H-2w7 mouse. A comparison of the structural data yielded the conclusion that three of the apparent Slp genes of H-2w7 are indeed recombinant genes comprising C4-derived 5' region and Slp-derived 3' region. The fact that C4-Slp recombinant genes retain C4-derived 5'-flanking region including the promoter explains the C4-like constitutive expression of Slp in the H-2w7 mouse.